А. М. МХИТАРЯН

БУДУЩИЙ ВОДНЫЙ БАЛАНС ОЗЕРА СЕВАН И ИЗМЕНЕНИЕ ЕГО АКТИВНОЙ ОТДАЧИ

Как известно, в процессе деятельности человека происходит изменение составляющих водного и теплового балансов подстильющей поверхности [1—5, 7—8, 13, 16, 18, 19]. Одной из задач гидрометеорологической науки является исследование этого изменения. Еще более важно заранее вычислить те изменения, которые произойдут при осущестилении проектных мероприятий. в частности, следует прогнозировать режим работы проектируемых водоемов. Подобные работы по изменению климата в микро- и, даже, в макромасштабе рассмотрены в [2—5, 7, 13, 16, 18, 19 и др.].

В пастоящей статье рассматривается задача об изменении испарания и других составляющих водного баланса ов. Севан в связи с уменьшением его глубины, поскольку и будущем, после понижения с квордов йня и меру вым видем им будем и и 20 и и образования в пробего в п другими характеристиками. Следует отметить, что прогноз водного баланса ов. Севан при понижении его уровня на 50 м по старой схеме был дан В. К. Давыдовым [4]. В дальнейшем, в работах [7, 9, 11-13, 19] этот вопрос был пересмотрен в связи с необходимостью сохранения уровня озера на высокой отметке, близкой к естественным услониям. В результате был составлен новый водный баланс [7, 13] озера при стоянии его уровия на 20 м инже естественного. Вопрос изменении испарения с поверхности озера и зависимости от уменьшения его глубины рассмотрен в работах [7, 13, 18, 19], в которых были получены частные решения задачи. Благодаря тому, что озеро Севан хорошо изучено, в работах [7-15, 18-20 и др.] удалось на его примере получить ряд важных закономерностей и особенностей процессов влаго- и теплообмена в горных условиях, локальной циркуляции, режима радиации, ее поглощения, температурного режима, испаряемости H T. A.

Активной отдачей озера будем называть то количество ноды, которое можно выпустить из озера при его неизменном уровне. Известно [4], что в естественных условиях активная отдача равнялась бытовому стоку реки Раздан у ее ыстока, т. с. 65 млн. м¹ в год или 46 млн слоя ноды на зеркале очера, хотя В. К. Давыдов принял соответственно 50 и 30 для средних многолетиих условий. По тем же расчетам подчемный сток из озера состанлял 85 млн. м¹/год, расчетная же величина для средних многолетних условий была принята равной 60 млн. м³/год.

Прежде чем перейти к самому водному балансу, рассмотрим вопрос об изменении испарення с поверхности озера в связи с уменьшением его глубины. Как изпестно, испарение (Е) можно определить по следующим формулам:

$$E_1 = a_1 (1 + bv)(c_0 - c_2) \tag{1}$$

$$E_1 = a_0 \circ (e_1 - e_2) \left(1 + A \frac{T_3 - T_2}{v^2}\right)$$
 (2)

$$E = \frac{R - B}{\left(1 - \frac{T}{c_0 - c_s}\right)L} \tag{3}$$

$$E = h_{\rm np} - h_{\rm p} \tag{4}$$

полученным по экспериментальным данным испарителей (E), по методам турбулентной диффузии (E), теплового баланса (E_c) и нодного баланса (E_n).

Здесь v, e, $T_{\rm g}$ — скорость ветра, влажность и температура воздуха на некоторой высоте, например, на высоте 2 м; e_0 — иляжность насыщения, рассчитанная по температуре поверхности воды $T_{\rm h}$; R— радиционный баланс водной поверхности; B— накопление тепла в волной толще; L— скрытая теплота парообразования; $h_{\rm p}$, $h_{\rm p}$ — суммарные приход и расход воды; a_0 , a_1 , a_2 , b, A— известные параметры.

Формулы (1)—(4) показывают, что изменения испарения связаны с изменением условий турбулентного обмена, влажности и температуры воздуха, скорости ветра, температуры воды, альбедо водной поверхности, накопления тепла в воде и т. д. Если исходить из теории турбулентной диффузии, прологарифмировать и продифференцировать формулу (2), получим

$$\frac{\partial E}{E} = \frac{\partial v}{v} = \frac{\partial (e_0 - e_1)}{e_0 - e_2} = \frac{A \partial (\Delta T/v^2)}{1 + A \Delta T/v^2}$$
(5)

гле обозначает приращение соответстнующей величины.

Используя разложение формулы Магнуса

$$e_0 - e_2 = D - b_1 \left(T - T_{\bullet} \right) \quad \cdots \tag{6}$$

и вводя обозначения $\Delta T_{a}=T_{a}-T_{a}$, $\Delta e=e_{0}-e_{2}$, окончательно получим

$$\frac{\delta E}{E} = \frac{\delta D}{\Delta c} + c_1 \frac{\delta v}{v} + b_1 c_2 \frac{\delta \left(T_2 - T_2\right)}{\Delta c} \tag{7}$$

$$c_1 = 1 - \frac{2A\Delta T}{a - A\Delta T}, c_1 = 1 - \frac{A\Delta e}{b_1(a - A\Delta T)}$$
 (8)

Злесь D- дефицит влажности воздуха на высоте $2=b_1-0.066e_{-1}$ где e_m (T_2) — максимальная упругость пара при температуре поздуха.

Таким образом, отпосительное изменение испарения вследствие, например, уменьшения глубины подоема склядывается из относительного изменения скорости ветра непосредственно и, из-за изменения условий турбулентного обмена, из относительного изменения дефицита нлажности воздуха, а также из относительного изменения разности температур вода-воздух непосредственно и из-за изменения условий турбулентного обмена.

Следует отметить, что величины E, v, c_1 , c_2 относятся e естественным или начальным условиям, поэтому известны. Для определения e необходимо оценить лишь изменения e и e e e e синтать, что при уменьшении глубины водоема изменения дефицита влажности, скорости нетра и условий турбулентного обмена по сравнению с изменениями температуры поверхности воды малы, то вместо (7) получим приближенную оценку

$$\frac{3E}{E} \approx b_1 \frac{3(T_3 - T_2)}{e_2 - e_2} \tag{9}$$

непользованную автором в [7, 13].

Для оценки влияния изменения температуры воды на испарение по (9) рассмотрим уравнение притока тепла в воде с учетом поглощенной радиации, конвективного теплообмена с атмосферой, турбулентного теплообмена в воде, горизонтяльного перераспределения тепла течениями, а также источников тепла и нестационарности процесса. Это уравнение имеет вид

$$\frac{\partial T}{\partial t} + u \frac{\partial T}{\partial x} + w \frac{\partial T}{\partial z} = \frac{\partial}{\partial z} \left(k \frac{\partial T}{\partial z} \right) + \frac{S_0 \left(1 - A_0 \right) \alpha e^{-\alpha z}}{c \rho} + \varepsilon \tag{10}$$

Здесь T_i с, р. температура, удельная теплоемкость и плотность воды; t премя; оси направлены: x по течению, z вертикально вниз; u_i w - составляющие скорости; z_i k коэффициенты поглощения и турбулентного обмена; S_0 , A_0 суммарная радиация и альбело; t приток тепла в единицу объема за единицу премени.

Проинтегрируем уравнение (10) по z от нуля по всей глубине полоема, считая, что последняя зависит от времени по известному, заранее заданному закону

$$H = H(t) \tag{11}$$

Обозначая средние по неей глубине величины теми же буквами с черточкой сверху, получим

$$\frac{\partial H\overline{T}}{\partial t} - T_{H} \frac{dH}{dt} - Hu \frac{\partial \overline{T}}{\partial x} + \overline{w} \left(T_{H} - T_{0} \right) - k \frac{\partial T}{\partial z} \bigg|_{0}^{H} - H\overline{z} - \frac{1}{\varepsilon} - \frac{1}{\varepsilon$$

Здесь T_0 и T_B — температура воды на поверхности и у дна. При этом мы использовали обозначение

$$T(x,t) = \frac{1}{H(t)} \int_{t_0}^{H(t)} T(x, z, t) dz$$
 (13)

Кроме того, $e^{-att} \ll 1$ для глубоких водоемов.

Согласно определению, имеем

$$B = -c\rho \left(k \frac{\partial T}{\partial z}\right)\Big|_{z=0}, B_H = -c\rho \left(k \frac{\partial T}{\partial z}\right)_{z=H}$$
 (14)

где B, B_H — потоки тепла у поверхности и у дна. Пренебрегая потоком тепла у дна и учитывая уравнение теплового баланся

$$LE + P + B = R - S_0 (1 - A_0)$$
 (15)

на (12) получим

$$c_{P} \left[\frac{\partial HT}{\partial t} + Hu \frac{\partial T}{\partial x} - \overline{w} \left(T_{o} - T_{P} \right) \right] = R - (LE + P) + c_{P} T_{H} \frac{dT}{dx} + c_{P} Hz$$
(16)

В втом уравнении имеются две неизвестные величины T_0 и T. Для замыкания задачи введем следующую дополнительную зависимость между инми, установленную экспериментальным путем

$$T(x, t) = \mu(x, t) T_0(x, t)$$
 (17)

где р — нанестная функция. Подставляя (17) в (16), получим урапнеине, из которого опредсляется температура поверхности воды 7₀. Это уравнение имеет вид

$$\Phi \left[\frac{\partial vHT_0}{\partial t} + H\omega \frac{\partial vT_0}{\partial x} - \overline{w}T_0 \right] = R - (LE - P) + c_F \left(\overline{H}^{\underline{c}} - \overline{w}T_H + T_H \frac{dH}{dt} \right)$$
(18)

Чтобы несколько упростить решение, положим, что μT_6 , т. с. T, зависит от x по линейному закону с небольшим горизонтальным градиентом Γ (t), т. е.

$$\mu T_0 = T(x, t) = T_0(t) + x\Gamma(t)$$
 (19)

Это означает, что глубина водоема вдоль госполствующего течения мало меняется.

Подставляя (19) в (18), получим

$$\frac{\partial vHT_{0}}{\partial t} - \overline{w} T_{0} = \frac{1}{c^{2}} \left[R - (LE + P) \right] - H_{-} - \left(\overline{w} - \frac{dH}{dt} \right) T_{H} - \overline{u} H\Gamma$$
 (20)

После несложного преобразонания уравнению (20) можно придать следующий окончательный вид:

$$\frac{\partial T_0}{\partial t} + f(x, t) T_0 = F(x, t) \tag{21}$$

Здесь впедены следующие обозначения:

$$f(x,t) = \frac{1}{nH} \left(\frac{\sigma nH}{\sigma t} - \frac{1}{nH} \right)$$
 (22)

$$F(x,t) = \frac{1}{uH} \left[\overline{H} \varepsilon - \left(\overline{w} - \frac{dH}{dt} \right) T_H - \overline{u} H \Gamma + \frac{1}{c_P} \left(R - LE - P \right) \right]$$

Уравнение (21) должно быть решено при следующих начальных условиях:

 $t = t_0, T_0 = T_{00}(x), \mu = \mu_0(x), H = H_0(x)$ (23)

Легко убедиться, что решение уравнения (21) при условиях (23) имеет вид

$$T_{0} = e^{-\int_{t_{0}}^{t} f dt} \left[T_{00} + \int_{t_{0}}^{t} \left(F(x,\tau) e^{\frac{1}{\tau_{0}}} \right) d\tau \right]$$
 (24)

В случае, когда можно положить w = const по времени, например, w = 0, из (20) можно получить

$$\tau \frac{\partial T_0}{\partial \tau} + m(x) T_0 = \Phi(x, \tau)$$
 (25)

Здесь мы, во-первых, перешли к новой переменной

$$\mu H = \tau, \ \mu_0 H_0 = \tau_0, \ t = t_0 \frac{\tau}{\tau_0}, \ \frac{\partial}{\partial t} = \frac{\partial}{\partial \tau} \tag{26}$$

и, кроме того, ввели новые обозначения

$$m(x) = 1 - \frac{wt_0}{z_0} \tag{27}$$

$$\Phi(x,z) = \frac{t_0}{z} \left[\alpha HF(x,t) \right]_{t=zt_0 t_0}$$

Решение уравнения (25) в этом случае при начальных условиях

$$\tau = \tau_{0i} \ T_0 - T_{00i}, \ \mu = y_{0i} \ H - H_0$$
 (28)

имеет следующий вид:

$$T_0 = \left(\frac{\tau}{\tau_0}\right)^{-m} \left[T_{00} - \int_{\tau_0}^{\tau} \Phi\left(x, \tau\right) \left(\frac{\tau}{\tau_0}\right)^m d\tau\right]$$
 (29)

В некоторых случаях правая часть уравнения (27) может быть представлена в виде

$$\Phi\left(x,z\right) = B_{\theta}\left(x\right)\left(\frac{z}{z}\right) \tag{30}$$

В этом случае интеграл в правой части (29) легко берется, и решение принимает вид

$$T_0 = \left(\frac{\tau}{\tau_0}\right)^m \left\{ T_{00} - \frac{B_0}{m-n} \left[1 - \left(\frac{\tau}{\tau_0}\right)^{m-n} \right] \right\}$$
(31)

При w=0 из (27) имеем m=1, кроме того, при $u=\Gamma=0$ несколько упрощается вид функции $\Phi(x,\tau)$. Тогда иместо (31) получим

$$T_{\nu_{0}} = \frac{a_{0}H}{\mu H} \left[T_{00} - \frac{B_{0}}{1-n} \right] 1 - \left(\frac{a_{0}H}{\mu H} \right)^{n-1} \right]$$
 (32)

Наконец, если расчетный период достаточно большой и можно приближенно положить

$$B = R - (LE + P) = 0, \quad \overline{z} = 0, \quad T_H = \text{const}$$
 (33)

то легко получается более простое решение

$$T_0 = T_{00} \frac{H}{\mu H} + \frac{T_H}{\mu H} (H - H_0)$$
 (33)

Это последнее использовано автором в работах [7, 13].

Анализ, приведенный лиже, показал, что точность этого решения педостаточна, поэтому следует исходить из (31) или, в крайнем случае, из (32).

Для получения решения уравнения (20), записящего от H(t) в явном виде, перейдем к переменной H. Учитывая (11), вместо (21) получим

$$H_{\overline{\sigma_{H}}}^{\sigma T_{0}} = \overline{f}(x, H) T_{0} = \overline{F}(x, H), \tag{34}$$

причем $T_0 = T_0(x, H)$, кроме того, $\partial H/\partial t = H'$ и

$$\widetilde{f}(x, H) = 1 - \frac{H}{n} \frac{\partial u}{\partial H} - \frac{\widetilde{w}}{nH}$$
(35)

$$\overline{F}(x,H) = \frac{1}{\varphi H'} \left[H \varepsilon - \left(\overline{w} - \frac{dH}{dt} \right) T_{tt} - \overline{u} H \left[- \frac{1}{c\varphi} \left(R - LE - P \right) \right] \right]$$

Уравнение (34) является аналогом (25) и при начальном условии (28) имеет решение, отличное от решения (29), так как теперь f существенно зависит от переменной интегрирования H.

Это решение имеет вид

$$T_0 = e^{\frac{H}{H}} \left[T_{00} + \int_{H}^{H} \left(\overline{F} e^{\int \overline{T} \frac{dH}{H}} \right) \frac{dH}{H} \right]$$
 (36)

и будет использовано для дальнейших расчетов.

Подчеркием еще раз, что T_{00} — температура поверхности воды при естественных условиях до полижения уроння, т. с. при $H=H_0$ и $\mu=\mu_0$. Для производства расчетов необходимо знать значения величин μ_0 и μ (x, t) или μ (x, t), а также записимость (11).

Предположим, что понижение урония происходит по линейному закону с интенсивностью 1 м в год, т. е.

$$H = H_0 - \gamma t_+ \gamma = -\partial H \partial t \tag{37}$$

где 7 = 1 м год, а t намеряется годами.

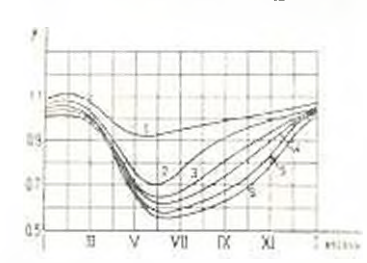
Ниже, в табл. 1, приведен годовой ход величин E, T_0 , v_2 , ΔT_0 , Δe , c_1 , c_2 , μ , входящих в расчетные формулы (7) и (36), относищихся к озеру Ссван в естественных условиях. В шести последних строках приведены значения величины μ (H, ℓ), причем в качестве индексов указаны глубины в метрах. Таблица и фиг. 1 и 2 показывают, что μ имеет явно выраженный годовой ход и достаточно изменяется по H

Годовой код исходных ведичин

м-ды	1	[]	111	1V	V	VI	VII	VIII	ΙX	х	X1	XII	Год
E	61	47	37	21	19	46	77	97	106	103	85	66	765
Too	2.6	1.6	1.5	3.4	7.3	13.1	17.0	18.1	16.9	13.4	10.1	5.7	9.2
v_{i}	3.9	4.0	3.7	3.3	2.9	3.0	3.4	3.3	3.3	3.3	3.6	3.9	3.5
1 To	5.1	4.0	2.9	0	0	0.5	1.0	1.7	3.1	3.8	5.5	6.0	2.8
20	3.7	3.2	2.5	1.5	1.5	3.7	5.5	7.1	8.0	7.5	5.9	4.2	4.6
C1	0.68	0.76	0,80	1.0	1.03	0.94	0.91	0.84	0.73	0.68	0.62	0.64	0.80
C ₂	1.35	1,29	1.25	1,14	1.15	1.23	1_21	1.27	1.33	1.40	1.36	1.32	1.27
210	1.08	1,12	1.06	U.98	0.92	0.93	0.95	0.96	0.98	1.0	1.02	1.04	1.0
Man	1.05	1.08	1.03	0.91	0.76	0.70	0.76	0.83	0.90	0.94	0.97	1.01	0.91
A46	1.04	1.06	1,01	0.88	0.71	0.66	0.67	0.74	0.81	0.87	0.92	0,99	0.86
P48	1.03	1.04	1.0	0.86	0.68	0.61	0.62	0,65	0.73	0.80	0.88	0.97	0.82
1463	1.02	1.03	0.99	D.84	0.66	0,58	0.59	0.62	0,68	0.74	0.83	0.95	0.79
Yes	1.01	1.02	0.98	0.83	0.63	0.55	0.55	0.58	0.63	0.69	0.78	0.92	0.76

в фиксированный месяц. При уменьшении глубины от 75 до 18 м величива р в среднем за год увеличивается от 0.76 до 1.0.

Минимальное значение и наступает в мае при H=18 м, и июне—при H=30 м и июле—для более глубоких вертикалей. Максимум имеет место в зимние месяцы. Важно отметить, что $\partial \psi \partial t$ обращается в нуль в мае—июле, затем увеличивается, достигая наибольшего эначения в летние месяцы. Затем $\partial \psi \partial t = 0$ во второй раз в феврале, вес-



Фиг. 1. Годовой ход величины р Т Т₀ для разных вертиколей оз. Севон: 1—18 м; 2—30; 3—46; 4—55; 5—63 и 6—75 м.

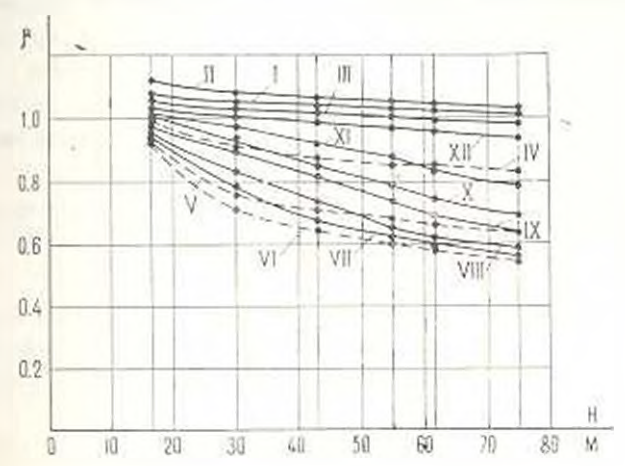
ной эта величина отрицательна. Для расчетов c_1 и c_2 по (8) пеобходимо было вычислить неличину нараметра турбулентности A. Для этого использована работа автора [14], согласно которой при увеличении скорости встра от 3 до 4 м/сек величина A унеличинастся от 0.52 до 0.58. Для этих значений v можно в среднем положить A 0.55. В случае, когда A 0, т. е. когда не учитывается температурнан неоднородность, получаем c_1 $c_2 = 1$ [7, 13]. Соотноше-

ния (8) и табл. 1 показывают, что в действительности c_1 и c_2 отличаются от единицы, причем $c_1=1$ при $\Delta T_0=0$ (апрель) и $c_1=1.04$ при $\Delta T_0<0$ (май), по все остальные месяцы $c_1<1$. Это означает, что во всех случаях, когда принодный слой атмосферы стратифицирован неустойчиво, учетастратификации приводит к уменьшению роли изменений встра в изменениях испарения, причем если изменения скорости встра в изменениях испарения без учета стратификация определяются коэффициентом $c_1=1$, то учет стратификации приводит к $c_1 \neq 1$, причем в

среднем за год это отличие состанляет $20^{\circ}/_{\circ}$, т. е. с. 0.80. Минимальное значение с. =0.63-0.65 имеет место зимой.

По этой причине учет стратификации приводит к уменьшению приращения испарения при одном и том же се.

Иное влияние оказывает учет стратификации на c_2 . Здесь $c_2 > 1$ в течение всего года, причем наибольшее значение имеет место в кон-



Фиг. 2. Заинсимость и различные месяци.

це лета и начале осени, наименьшес — весной. В среднем за год $c_2 = 1.23$ и неучет стратификации приводит к приуменьшению роли изменений температуры на изменения испарения. Таким образом, анализ показывает, что условия турбулентного обмена должны быть учтены, тем более, что уменьшение глубины по-разному влияет на изменения температуры поверхности воды в течение года. Этого не было сделано в [7], где просто было принято $c_1 = c_2 = 1$.

Расчетное соотношение (7) можно представить в следующем удобном для анализа виде:

$$\frac{dE}{E} = c_0 \delta D - \overline{c_1} \delta v + c_0 \delta \left(T_0 - T_0 \right) \tag{38}$$

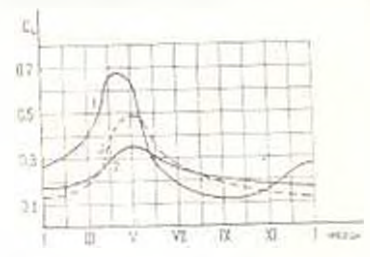
$$c_0 = 1/\Delta e_1 \ c_1 = c_1/v_1 \ c_2 = c_2 b_1/\Delta e$$
 (39)

Значения этих коэффициентов ст приведены ниже в табл. 2 и представлены на фиг. 3.

Таблица 2 Головой кол комфиничентов с

жех м-пе	1	11	tit	īV	V	VI	VII	VIII	IX	x	Xi	XII	Дод
$\frac{c_4}{c_1}$	0.17	0.18	0.40 0.21 0.18	0.30	0.36	0.31	0.27	0.25	0.22	0,20	0.17	U.16	0.23

Так как все коэффициенты c_i положительны, то каждый из них соответственно в точности равен относительному изменению испарения, в случаях: 1) $\delta D=1$ мб, $\delta v=\delta \Delta T_0=0$; 2) $\delta v=1$ м/сек, $\delta D=\Delta T_0=0$; 3) $\delta \Delta T_0=1$ С, $\delta D=\delta v=0$, т. е. в среднем за год при увеличении дефицита влажности поздуха на 1 мб и неизменных v и ΔT_0 испарение увеличится на $29^0/_0$, во втором и третьем случаях на $23^0/_0$.



 $\Phi_{\rm Hr}$, 3. Годовой ход жовффициентон: 1— c_0 ; 2— c_1 ; 3— c_2

Данные таблиц и графиков достаточны для всех расчетов. Так как последние должны быть произведены для будущего уровня озера на 20 м ниже естественного, то укажем, что при спуске уровня озера на 20 м площадь его зеркала сократится лишь на 13.4% (190 км²) и станет равной 1226 км². Из вековых запасов вод озера будет сработано 26.5 млрд. м³, т. е. почти 46%. Сред-

няя глубина М. Севана уменьшится с 50.9 до 38.5 м, Б. Севана с 37.7 до 21.6 м, всего озера—с 41.3 до 26 м.

При этом больших изменений в нетровом режиме озера не произойдет. Расширение прибрежной ровной полосы приведет к некоторому росту скорости петра, а понижение по вертикали подпого зеркала приведет к небольшому дополнительному расширению струи, за счет чего скорость несколько уменьшится.

Незначительны будут также изменения элементов местной циркуляции, которая и без того в бассейне озера слабо развита, за исключением некоторых периодоп. Все ато приводит к выводу, что рост скорости ветра в течение года не будет меняться, а величина этого роста будет незначительной (порядка нескольких процентов от неличины самой скорости), не выходящей за пределы точности измерения и определения величины скорости ветра над озером. Но отметим, что даже небольшое увеличение скорости ветра должно быть учтено, так как величина испарения прямо пропорциональна скорости ветра.

Малы будут, по-видимому, изменения дефицита влажности ноздуха над озером (δD). Сравнение годового хода пеличины D за 1927-1934 гг. и 1957-1964 гг. ноказывает, что дефицит влажности в зимние месяцы несколько уменьшился $(0.1-0.3\ mb)$, а летом несколько уменьшился, $(0.1-0.3\ mb)$, а летом несколько уменичился. Табл. 2 показывает, что $c_0 > c_1$, поэтому два первых фактора формулы (38) в значительной степени компенсируют друг друга в холодиую часть года и суммируются в остальное время. Это приводит к тому, что испарение летом увеличивается больше, чем зимой уменьшается. Более существенным оказывается изменение температурного режима. Для расчетон последнего мы воспользопались данными табл. 1 и 2, фиг. 1 и 2 и результатами работ [7, 13]. Интегралы (36) нычислены численным методом. Результаты расчетов спедены в табл. 3.

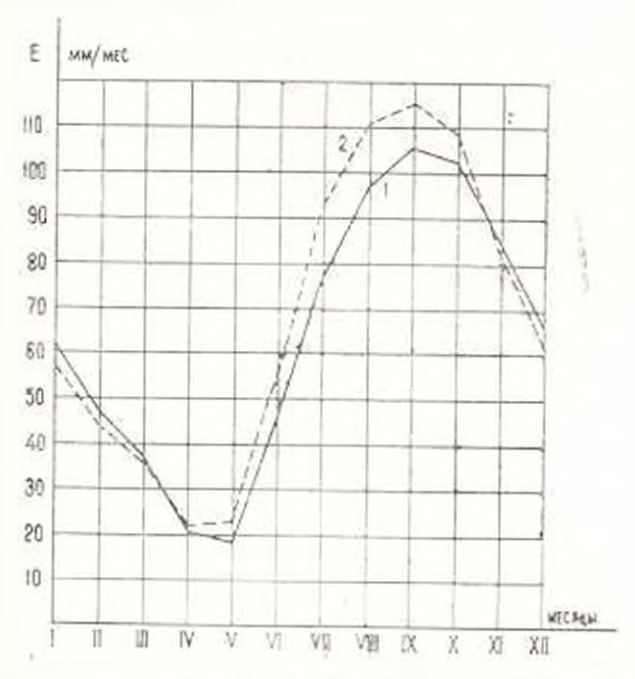
Таблица 3

Протноз	ненаре:	BEH T	1086731	рсти (эері	ı Cei	an II	ри с	пускі	ero	уровп	па 20	.46
Beh.	T.	11	ш	IV	٧			VIII		X	XI	XII	Год
colD	- 0,05	0.06	_0.04	0.03	()	0.03	0.02	0.02	0	0	-0.02	0.04	-0.02
Cicia	0.03	0.04	0.04	0.05	0,65	0.05	0_04	0.04	0.03	0.03	0.03	0,03	0.0
To	2.0	1.1	1.3	3.5	7.5	13.5	17,6	18.6	17.2	13.6	9.8	5.1	9.3
ΔT' ₀	4.8	3.7	2.7	0.1	0	8.0	1.5	2.1	3.4	4.0	5.3	5.6	2.8
8170	-0.4	-0.3	0.1	0.1	0.2	0.3	0.5	0.4	0.3	0.2	-0.2	-0.4	0.0
C.33 T.	0,05	_0 04	-0.02	0.04	0,10	0_10	0_13	0.09	0.05	0.03	-0.03	-0.05	0.0
E E	-0.06	-0.07	-0.02	0.06	0.15	0.17	0.20	0.15	0.09	0.06	-0.04	-0.05	0.0
E MAC	57	44	37	22	24	56	93	112	116	109	82	63	815

В последней строке приведен. едичина испарения (E) в новых условиях. Для расчетов использована формула (38) и значение испарения в естественных условиях (E), приведенное в таба. 1, причем

$$E' = E + \Delta E = E \left(1 + \frac{\Delta E}{E} \right) \tag{40}$$

Результаты расчета испарения для сравнения представлены на фиг. 4, где пунктиром показан годеной ход испарения в новых условиях. График хорошо иллюстрирует особенности тех изменений, анализ которых был приведен выше.



Фиг. 4. Годовой кол испаршиня: 1 — «стественных условиях; 2 при спуске уповин озерп на 20 м

Рассмотрим теперь очень кратко остальные состанляющие водного баланса озера [7], уравнение которого напишем в следующем виде:

$$h_{\rm s} = h_{\rm up} - h_{\rm p} \tag{41}$$

$$h_{\rm np} = Q' + r', \ h_p = E' + q'$$
 (42)

Здесь Q' и r — приток воды и озеро и осадки на его зеркало и новых условиях; E' и q' — испарение с поверхности озера и нодземный отток в тех же условиях; — активная отдача озера, определение которой являлось нашей целью. Все величины имеют одпу и ту же размерность или млн. m^3 в месяц или мм. мес слоя на зеркало.

Величина стока с бывшей водосборной площади не изменится, может быть произойдет перераспределение между сто поверхностными и подземными составляющими. Сток с вышедшей из-под нод озера территории можно рассчитать [7, 23 и др.], неходя из годового количества осадков прибрежной части. величина которых не превышает 390 мм год. Осадки теплой части года почти целиком испаряются [7, 13, 17, 18], остальные осадки порядка 70 мм почти полностью попадают и озеро. С территории 190 км² это составит примерно 15 млн. м³/год. Такой же результат получается в результате расчета по другим методам.

Вопрос изменения осадков рассмотрен в ряде работ [4, 5, 7 и др.]. Однако, новые дополнительные данные настоятельно требуют пересмотреть результаты работы [7] по определению осадков, так как за последние годы проведены большие работы в ГГО в ГГИ, которые показывают, что жидкие осадки недоулавливаются сетеным прибором и величина поправки изменяется от 5 до $15^{\circ}/_{\circ}$ в зависимости от скорости ветра и других факторов. Исходя из этого, величина осадков на акваторию озера теперь нами уточнена и принята равной 370 мм. год вместо 340, принятой в [7]. Годовой ход при этом оставлен почти без изменений.

С учетом всего этого можно теперь составить будущий водный баланс озера Севан по месяцам. (В работе [7] даны лишь годовые величины составляющих баланса).

Табл. 4 показывает, что активная отдача озера (h_s) составит 150 мм/год или округленно 180 млн. m^3 в год. На фиг. 5 представлен годовой ход прихода (1) и расхода (2) водного баланса озера и мм слоя на его зеркало в новых условиях.

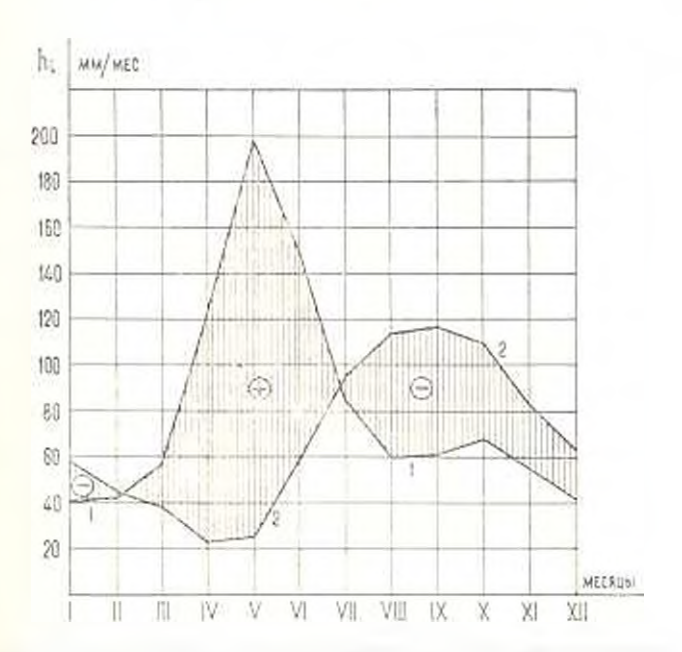
Актипная отдача озера заштрихована. Таким образом, активная отдача озера поверхностным путем в новых условиях болес, чем в три раза превышает его активную отдачу в естественных условиях $(50-60 \text{ млн. } m^3 \text{ в год}).$

В среднем-ежегодно можно будет из озера выпустить 180 млн. м' ноды при новом неизменном его уровне.

Эта величина из года в год будет меняться, причем в отдельные маловодные годы активная отдача очера будет отрицательной ве-

-28

Таблица 4 Водный балапс овера Севан при спуске его уровня но 20 м ($F=1226~\kappa \mu^3$) м-Цы Х XΙ XII Гел V VI VII V10IX ш IV В миллионах кубических метров ,108 0. hnp g' h_j -69 -53 -35-26- 3 В миллиметрах слоя на зеркало очера r1 0' hap hp



100 173

h,

-54

-56

-42

Фиг. 5. Годовой ход приходной (1) и расходной чистей (2) водного балопса озера. Севен при спуске его уровяя на 20 м. Заштриховоно дкуппион оздача озера.

личиной, попуски из озера будут прекращены и произойдет некоторое падение его уровня.

Если предположить, что в исключительно многоводный год произойдет совпадение наибольшего прихода водного баланса с наименьшим расходом, то, как показывают расчеты ¹⁷. уропень озера поднимется на 71 см. В год обратного неблагоприятного сочетания наименьшего прихода с наибольшим расходом произойдет падение уровня озера на 57 см. Это означает, что активная отдача озера будет меняться от —400 до —800 млн. м⁴ и год.

По данным наблюдений за последнее десятилетие (1956—1965 гг.) в 1963 многоводном году активная отдача озера составила 700 млн. м³, а в сравнительно маловодном 1961 году 300 млн. м³.

К концу 1965 г. понижение уровня озера составило 16.8 м.

Поэтому можно сделать некоторые сравнения. По данным за 39 лет (1927—1965 гг.) имеем следующую картину.

За 1927—1941 гг. (15 лет) спуск овера составил всего 110 см, активиая отдача раннялась 77 млн. м³/год. За 1927—1958 гг. соответственно имеем 12.1 м и 128 млн. м¹/год. За все 39 лет — 16.8 и 150 млн. м³ год. За 25 лет существенных попусков (1941 — 1965 гг.), когда уровень овера понивился на 16.34 м, активная отдача уже составила в среднем 170 млн. м³/год. За последнее десятилетие эта величина несколько больше определенной нами нормы (180). так как 1960, 1964 и 1965 гг. оказались сравнительно многоводными, 1963 г. выдающимся многоводным, а сравнительно маловодным был лишь 1961 г. Кроме того, в связи с большим понижением уровня овера в 1961 и 1962 гг. (2.37 м за два года), имел место некоторый дополнительный приток подземных вод за счет их статических запасов.

Важно отметить, что следует постоянно думать о пополнении волных ресурсов оз. Сенан, так как оно имеет огромное народно-хозяйственное значение для нашей республики, и не только для нашей.

Аля этого в ближайшем будущем следует направить в озеро, кроме вод реки Арпы, поды других рек, и и первую очередь реки Гетик. Далее, следует развивать химию поверхностно-активных веществ и применить их для сокращения огромных непроизводительных потерь воды на испарение. Большое значение имеет также изучение подных ресурсов облаков в бассейне озера и т. д.

Сделаем одно замечание.

Рассмотрим попрос о теплоаккумуляции в озере в новых условиях. Согласно определению, имеем

$$B' = c \rho \frac{\partial}{\partial t} \int_{0}^{H} T(x, z, t) dz = c \rho \frac{\partial}{\partial t} (\mu H T_0)$$
 (43)

Так как согласно решению (36) или уравнению (34)

$$H\frac{\partial T_0}{\partial H} = \overline{F} - \overline{f} T_a \tag{44}$$

то легко получим

$$B' = c\gamma \frac{\partial f}{\partial t} \left[\gamma \overline{F} - T_0 \left(\gamma - H \frac{\partial}{\partial H} - F \right) \right] \tag{45}$$

Подставляя сюда значения f, F, T_0 из (35) и (46), получим окончательно

$$B' = B + c_{c}^{*} \left[u_{c} \left(T_{0} - T_{D} \right) + T_{H} H' - H \left(\tilde{z} - u(\tilde{z}) \right) \right]$$
 (46)

3десь B — вначение B в естественных условиях.

Анализ (46) показывает, что накопление тепла в новых условиях будет меняться. Вода озера будет быстрес нагреваться и интенсивнее охлаждаться, озеро, почти незамерзающее в естестненных условиях, станет часто замерзающим в новых условиях.

Особенно это будет иметь место в переходный период, когда попуски летом большие и на озера выпускаются поверхностные сравнительно теплые поды. После установления нового стабильного уровня озера повторяемость явления ледостава несколько уменьшится.

В заключение приведем сравнительные данные водных балансов, составленных для уровня овера на 20 м ниже естественного.

Таблица 5 Средний мпоголетиии водный балине овера Сенан при спуске его уровия на 20 м

		Γ	Гриход					
Авторы	приток	OCCURE	нтого	испаре- ние	подземи.	поверхи.	Итого	Размер- ность
В. К. Давыдов [7] Настоящая работа	782 737 747	479 417 453	1261 1154 1200	1067 966 1000	19 18 18	4 170 182	1261 1154 1200	млн. ж ³ год **

На основании анализа полученных результатов можно сделать следующие выводы.

Приближенное решение (33), использованное в [7], принодит к переоценке роли ветра и недооценке роли турбулентного обмена, поскольку было принято $c_1 = c_2 - 1$. В самом деле имеем $c_1 = 0.62$ в поябре и 1.0 — в апреле-мас, в среднем за год $c_1 = 0.80$; $c_2 > 1$ в течение всего года, в среднем за год $c_2 = 1.27$ (см. табл. 1).

Впервые предложена схема прогноза изменений температуры поверхности ноды в зависимости от изменения глубины в явном виде.

Это решение имеет вид (36), причем здесь учтено влияние ряда факторов, отброшенных при приближенном решении (33).

Предложено наиболее полное прогностическое уравнение для предопределения температуры поверхности воды. Если решение для последнего слагаемого правой части этого уравнения значительно уточнено, для первых двух слагаемых, учитывающих относительное изменение встря и дефицита влажности ноздуха, решение построено приближенно, причем табл. З показывает, что испарение в целом уве-

личивается на $6-7^\circ$ из них ветровому фактору принадлежит $+4^\circ$ с почти неизменным годовым ходом. Влияние дефицита имеет выраженный ход (от -0.06 до -0.03) и за год отрицательно (-2° ($_0$).

Влияние температурного фактора также имеет годовой ход (от —7 до 120°), за год положительно (3°). В отличие от нодного базанса [7] ядесь вперные получены средние месичные значения составляющих баланса, причем вместо 170 млн. де год отдачи озера поверхностным путем сейчас получено 182 или округленно 180 млп. м³ год. Эта последняя пеличина может быть рекомендована для учети и водохозяйственных расчетах, она теперь достаточно обоснована.

Отметим еще одно обстоятельство. Если по расчетам В. К. Даиндова и естественных условиях из озера яытеквло поверхностным и подземным путем всего 110 млн. м' и год, то теперь, и новых услониях из озера будет вытекать теми же путями 200 млн. м' и год (182+18). Это означает, что если поверхностная отдача озера унеличилась более, чем в 3 раза, то суммарная отдача унеличилась всего в 1.8 раза.

Таким образом, предлагаемое решение несколько уточняет принятые ранее величины.

Запавиозсини научно-песледовнуемы инй гидрометеорологический мистизуя

Поступнав 30 XII 1966

IL U. UWNPILITARE

ՍԵՎԱՆԱ ԼՃԻ ԱՊԱԳԱ ՀԱՇՎԵԿՇԵՌԸ ԵՎ ՆԻԱ ՋՐԵՐԻ ԱԿՏԻՎ ԱՎԵԼՑՈՒՄԻ ՓՈՓՈԽՈՒԹՅՈՒՆԸ

Ասկրովում

Հոդվածում բերվում է Սևանա լճի գրի գոլորչիացման կանկատարիվը նրա ապադա տայմաննների համար, երբ լճի մակերևուլքը բնականի հետ համեմատած կիջնի 20 մետրով և այլևս չի փոփոխվի։

ակով ստացված (2, բանաձևը, ցույց է արվում, որ դոլորչիացման փոփոխուհակով ստացված (2, բանաձևը, ցույց է արվում, որ դոլորչիացման փոփոխուհյունները ընկ մակերնույնից նրա խորունյան փոփոխունյան հետևանքով պայմանավորված են օգի խոնավունյան պակատորդի քամու աքաղունյան, տուրբույննա փոխանակման ջրի մակերնույնի ջերմաստիճանի հարաբերական փոփոխունյուններով Ձրի բերմաստը, անի կանխահայիվը կատարելու համար օգտաղարձվում է 110 համաստրումը, որը որոչակի ձևափոխունյուններից հետո բերվում է (34) տեսքին Վերջինիս լուծումը նախնական (25) պայմանի դնաթում ունի (36) տեսքը։ Գծ 1-ի և 2-ի վրա ներկայացված են այն ավյուրները որոնը անհրաժեշտ են հայվարկների համար (38) բանաձևով Համապատասկան դործակիաների արժեքները բերված են աղյուստի 2 ում, հայվարկի արդյունըները՝ աղյուստի 3-ում Գծ. 1-ի վրա ներկայացված են դոլուշիացվան հայվարկների արդյունըները բնական 1-ն շատորա 2-սլաւմանների համար։ Սնանա ընկ արդյունըները բնական 1-ն շատորա 2-սլաւմանների համար։ <mark>տեղ համապատաս</mark>խան տողերում տրված է նրա չրային պաշարների ակտիվ ավելցու<mark>կի հ_ա արժե</mark>ջը, որի միջին բազմամյա մեծուքյունը կազմում է 150 <mark>մմ. կամ 1</mark>80 միլ խոր. մետր։

Այդ արդյունքները ներկայացված են դծ. 5-ի վրա։ Վերջում ցույց է տրըված, որ ջերմակուտակումը կկրի լուրջ փոփոխություններ, բնական պայմանսերում համարյա չսառչող լիճը հաճախակի կսառչի։

A. M. MKHITARIAN

THE FUTURE WATER BALANCE OF LAKE SEVAN AND THE CHANGE OF ITS ACTIVE USE

Summary

The present paper considers the calculation of future evaporation of lake Sevan when the level of the lake will decrease 20 meters compared with the natural level.

The turbulent diffusion method is the basis of this investigation.

Numerical calculations show that the water resource for active use will be 150 180 million cubic meters.

ЛИТЕРАТУРА

- 1. Браславский А. П., Викулина З. А. Нормы испарения с поверхности водохранилиц. Гидрометеонядат, А., 1954
- Будыка М. И.Тепловой баланс эсмпой поверхности. Гидрометесиздат, А., 1956 к.
 тепловой и водими режим земной поверхности. Гидрометесиздат, А., 1960.
- 3 Будыко М И. Некоторые пути воздействия на климат. Метеорология и гидрологии, 2, 1962.
- 4. Дивыдов В. К. Водный баланс овера Сскан Гимия, А., 1938.
- Зубян Г. Д.: Потосин Х П. Влияние оз. Севан на водичество осадков, выпадающих в его бассейне. Труды ВЭНИ АН АриССР, вып 1, Ереван, 1950.
- Лайктман Д. Л. Физика пограничного слоя атмосферы. Гидрометеонздат, Л., 1961.
- 7. Мхитарин Л. М. Испарение с поверхности 93. Севан. "Результаты комплоксных исследований по севанской проблеме", т. 1. Изд. АН АрмССР, Ереван, 1961.
- Минтиран А. М., Дилестанян М. Г. О температуре водоемов. Изв. АН АрмССР, сер. физ. мат. прук. 16, № 1, 1963.
- Мхитарян А. М. Определение конффициента турбулонгного обмена по его полному и тепловому быланезм. Изп. АН. АрмССР, еер. техи. наук, 16, № 4. 1963.
- Мхитарян А. М. Суточный и годовой хол температуры подстильнивей поверхности. Изв. АН АрмССР, сер. физ.-мат. наук, 16, № 2, 1963.
- Мяштарян А. М. О теплообмене и водоемах. Докл. АН АрмССР, т. 38. № 4, 1963.
- Мхиторян А. М. Определение непарония с поверхности опера Севан методом теплового баланса. Дока. АН АрмССР, 1. 36, № 5, 1963.
- Мхитарян А. М. Водный и гепловой балаясы водосмов и некоторые вопросы тнародинамики пограничного слоя пімосферы. Автореферат докт. диссертации, А., 1962.

- Мхитерин А. М. К «перосу о вамянии устойчивости стратификации па турбулентный обмен в приподном сапе атмосферы. Изп. АН АрмССР, сер фив.-матнаук, п. 18, № 2, 1965.
- Мянтирин А. М., Дитестинян М. Г., Зорян З. А., Петросян Н. А. Экспериментальные неследования трансформации нездушиого потока пад горимы водосмом. Или. АН АрыССР, сер. физ.-мат. наук, т. 18 № 4, 1965.
- М. Пахчанян Г. Лазарян А Г. О эффек инпости монслоен-депрессоров исперения. Изв. АН АрмС(Р, сер. физ.-мат. наук. т. 18, № 6, 1965
- Пакчания I / Испаряемость и ее наменение с высотой местности. Допл. АН АрмССР, т. 38, № 1, 1964.
- Тим фес М. П. Метеорологический режим овера Севон. Гидрометеонадат, А., 1960.
- 19. Тимофеси М. П. Метеорологический режим подосмов. Гидрометеоиздат, А., 1963.
- Удовен А. И. К неследованню подных ресурсов зблоков толього полугодия в ба сейне озера Севан. Труды ГГО, вып. 104, 1960.

53.